

разработки современного измерительного технического комплекса для вагона-лаборатории связи.

Список литературы

1. Правила эксплуатации поездной радиосвязи ЦШ 4784 -М.: Транспорт, 1990.
2. Устройства поездной радиосвязи. Технологический процесс обслуживания и ремонта. РМ 32ЦШ 09.09-82. -М.: Транспорт 1984.
3. Правила организации и расчета сетей поездной радиосвязи ЦШ 4818-М.: Транспорт, 1991.
4. Зражевский Г.Н., Вованов Ю.В., Елизаренко А.В., Танцюра А.А., Тропкин С.И. Поездная и станционная радиосвязь, М.: «Транспорт» 1978 - 344с
5. Левин Б.Р. Теория надежности радиотехнических систем. М.: Сов. Радио, 1978, 264 с.
6. Макаров М.И., А.В. Жадан А.В., А.А. Зори А.А. Надежность электронных устройств автоматики, информационных и компьютерных систем: Учебное пособие. – Донецк:ДГТУ,1996. – 248с.
6. Гаскаров О.Б., Голинкевич Т.А., Мозгалевский А.В. Прогнозирование технического состояния и надежности радиоэлектронной аппаратуры. - М.: Сов. Радио, 1974. – 224 с.
8. Осовский С. Нейронные сети для обработки информации / пер. с польского И.Д. Рудинского. – М.: Финансы и статистика, 2004. – 344с
9. Минаев Ю.Н., Филимонова О.Ю., Бенамеур Л. Методы и алгоритмы идентификации и прогнозирования в условиях неопределенности в нейросетевом логическом базисе. М.: Горячая линия – Телеком, 2003

УДК. 656.259.12

Разгонов А.П., д. т. м., проф., (ДИИТ)
Разгонов С.А., аспирант, (ДИИТ)
Дунаев Д.В., ассистент, (ДИИТ)

**ИСТОЧНИК СТАБИЛИЗИРОВАННОГО НАПРЯЖЕНИЯ ДЛЯ
ПИТАНИЯ РЕЛЬСОВЫХ ЦЕПЕЙ**

На сети дорог стран СНГ всё более широкое применение находят тональные рельсовые цепи (ТРЦ). Опыт эксплуатации подтверждает их преимущества перед низкочастотными цепями. Наряду с этим, некоторые

характеристики ТРЦ требуют улучшения. В частности, необходимо повышать помехозащищенность полупроводниковых узлов от воздействия мощных импульсных помех, создаваемых грозовыми разрядами, системой тягового электроснабжения и др.; в первую очередь со стороны источника питания ТРЦ; повышать коэффициент возврата путевых приёмников путем применения для их питания источников стабилизированного напряжения.

Рассматриваемый в докладе стабилизатор устраниет ранее приведённые недостатки ТРЦ, как и РЦ других типов [1]. Стабилизатор разработан на базе широко применяемого преобразователя частоты ПЧ 50/25 [2] с использованием его комплектующих изделий и представляет собой существенно нелинейное устройство. Технические показатели устройства позволяют эффективно использовать его в системах питания железнодорожной и промышленной автоматики.

Стабилизатор содержит два магнитопровода (1 и 2) и размещённые на них входные обмотки W_1 , W_2 и выходные обмотки W_3 , W_k (рисунок 1), причём обмотки W_1 , W_2 охватывают оба магнитопровода, а их включение последовательное с обмоткой W_{10} образует витки намагничивания левого магнитопровода ($W_1 = W_2 - W_{10}$). Обмотка W_k закорочена конденсатором C и подключена нагрузка R (рисунок 1). В принципиальной схеме на рисунке 1 для удобства расчётов обмотки W_1 , W_2 размещены отдельно на магнитопроводах, что не нарушает принципа рассмотрения физических процессов.

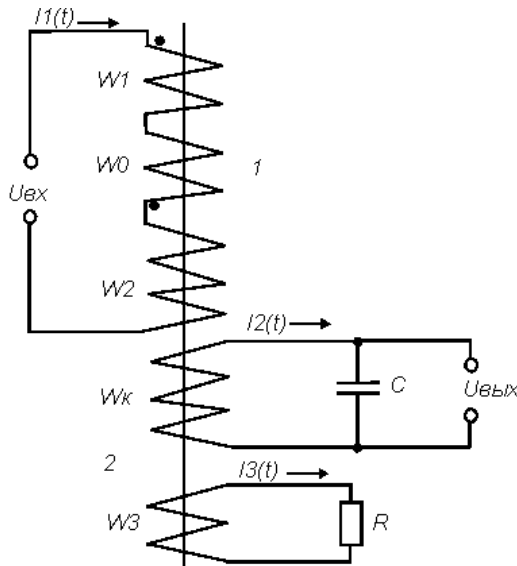


Рисунок 1 - Схема включения обмоток стабилизатора ФС - РЦ

Отличие стабилизатора ФС – РЦ от преобразователя частоты ПЧ 50/25, несмотря на близкое сходство электромагнитных процессов, заключается в физике передачи в системе “вход-выход”. В преобразователе в основе лежит явление параметрического резонанса, а в стабилизаторе - энергия на выход передаётся, главным образом, за счёт явления феррорезонанса. Кроме того, во входной цепи стабилизатора отсутствует постоянная составляющая, приводящая к нежелательному намагничиванию основных трансформаторов питающей сети.

Уравнение стабилизатора имеет вид:

$$W_1 \cdot \frac{d\Phi_1}{dt} + W_2 \cdot \frac{d\Phi_2}{dt} = U_m \sin \omega t, \quad (1)$$

$$W_K \cdot \frac{d\Phi_2}{dt} + \frac{1}{C} \cdot \int ik dt = 0, \quad (2)$$

$$W_3 \cdot \frac{d\Phi_2}{dt} + i_3 \cdot R = 0, \quad (3)$$

$$k_1 \cdot \Phi_1 + k_3 \cdot \Phi_1^3 = i_1 \cdot W_1, \quad (4)$$

$$k_1 \cdot \Phi_2 + k_3 \cdot \Phi_2^3 = i_1 \cdot W_2 + i_2 \cdot W_K + i_3 \cdot W_3. \quad (5)$$

Основная кривая намагничивания стали сердечников аппроксимируется неполным полиномом:

$$\sum i \cdot W = k_1 \cdot \Phi + k_3 \cdot \Phi^3,$$

где k_1, k_3 – коэффициенты аппроксимации.

В формулах (1) – (5) Φ_1 и Φ_2 – магнитный поток левого и правого сердечников дросселей, i_1, i_2, i_3 – токи соответственно во входной цепи, контурной и нагрузке R .

Из уравнений (4) и (5) находим ток:

$$i_K = (k_1 \cdot \Phi_1 + k_3 \cdot \Phi_2) \cdot \frac{K_c - 1}{W_K} + \frac{k_1}{W_K} \cdot (\Phi_1 - \Phi_2) + \frac{k_3}{W_K} \cdot (\Phi_1^3 - \Phi_2^3) - \frac{W_3}{W_K \cdot R} \cdot \frac{d\Phi_2}{dt}, \quad (6)$$

где $K_c = \frac{W_2}{W_1}$.

Продифференцировав уравнение (2) и подставив в него (6), после преобразований получаем:

$$(k_1 \cdot \Phi_1 + k_3 \cdot \Phi_2^3) \alpha_0 + \frac{d\Phi_2^2}{dt^2} - 2\delta_0 \cdot \frac{d\Phi_2}{dt} + \beta_0 (\Phi_1 - \Phi_2) + \lambda_0 (\Phi_1^3 - \Phi_2^3) = 0, \quad (7)$$

где $\beta_0 = \frac{k_1}{C \cdot W_k^2}$, $\alpha_0 = \frac{K_c - 1}{C \cdot W_k^2}$, $2\delta_0 = \frac{2 \cdot W_3^2}{C W_k^2 R}$, $\beta_0 = \frac{k_1}{C \cdot W_k^2}$, $\gamma_0 = \frac{W_3}{W_k \cdot R}$.

После группирования при нулевых начальных условиях (1) имеем:

$$\Phi_1 + K_c \cdot \Phi_2 = -\frac{U_m}{\omega W_1} \cdot \cos \omega t. \quad (8)$$

Введём новую переменную:

$$y = \Phi_1 - \Phi_2 \cdot K_c. \quad (9)$$

Из (8) и (9) получаем:

$$\Phi_1 = 0,5 \cdot \left(y - \frac{U_m \cos \omega t}{\omega W_1} \right), \quad \Phi_2 = -0,5 \cdot K_c \cdot \left(y + \frac{U_m \cos \omega t}{\omega W_1} \right).$$

Подставив в (7) полученные выражения для Φ_1 и Φ_2 и преобразований, приходим к выражению:

$$\frac{d^2 y}{dt^2} + 2\gamma_0 \frac{dy}{dt} + \alpha_0 \cos \omega t + y^3 \cdot \gamma + y^2 \nu \cos \omega t + y \mu \cos 2\omega t + y \cdot \Omega^2 + \delta_0 \sin \omega t = 0.$$

Введём в последнее выражение величину $x = \frac{y}{\Phi_m}$ (Φ_m – поток насыщения), собственную частоту Ω^2 и время системы $\tau = \Omega t$ и приведём его к нормированному виду:

$$\begin{aligned} \frac{d^2 x}{d\tau^2} + x \cdot \left(\frac{\omega}{\Omega} \right)^2 &= -\Pi \cdot \frac{dx}{d\tau} + \psi \sin \left(\frac{\omega \tau}{\Omega} \right) + x^3 \cdot \gamma + x^2 \nu \cos \left(\frac{\omega \tau}{\Omega} \right) + \\ &+ x \mu C \cos 2 \left(\frac{\omega \tau}{\Omega} \right) + \alpha \cos \left(\frac{\omega \tau}{\Omega} \right) - x \Delta = F \left(x, x^2, x^3, \frac{dx}{d\tau} \right) \end{aligned}, \quad (10)$$

$$\text{где } \delta_0 = \frac{2Um\delta}{k1W1}, \psi = \alpha_0 \cdot \frac{\delta_0}{\Phi m \cdot \Omega^2}, \Pi = 2\delta \cdot \frac{Um}{\Omega Kc}, \gamma = (E1 + E2) \cdot \frac{\Phi m}{\Omega^2};$$

$$\nu = \frac{3Um}{\omega W1} \cdot (E1 + E2) \cdot \frac{\Phi m}{\Omega^2}, \mu = \frac{3Um^2(E1 - E2)}{2\omega^2 W1^2 \Omega^2}, E2 = 0,25Kc \cdot (\alpha_0 \cdot k3 + \lambda_0);$$

$$E1 = \frac{\lambda}{2 \cdot Kc^2}, \alpha = \left\{ Um \cdot \left[\frac{\beta_0 Kc(Kc - 1)}{\omega W1} - \frac{\omega}{W1} \right] + \frac{3Um^3(E1 + E2)}{4W1^3\omega^3} \right\} \cdot \frac{1}{\Phi m \Omega^2};$$

$$\Delta = 1 - \left(\frac{\omega}{\Omega} \right)^2 - \text{расстройка контура.}$$

Для решения (10) применим асимптотический метод Крылова – Боголюбова [3]. Для стационарного режима работы стабилизатора этот метод позволяет в первом приближении получить систему трансцендентных уравнений и определить амплитуду и фазу первой гармоники искомой переменной. Рассмотрим основные режимы работы устройства питания.

Стационарный режим холостого хода ФС – РЦ. Решение (10) будем искать в виде:

$$x = a \cdot \sin \psi, \psi = \frac{\omega \cdot \tau}{\Omega} + \Theta, \frac{da}{d\tau} = \varepsilon \cdot A(a, \Theta), \frac{da}{d\tau} = \varepsilon \cdot B(a, \Theta), \quad (11)$$

где $\varepsilon \cdot A(a, \Theta), \varepsilon \cdot B(a, \Theta)$ пока неизвестные функции; ε – безразмерный малый параметр.

Подставим (11) в (10) и, учитывая только члены при ε в первой степени, запишем первую часть (10) в виде:

$$\varepsilon \cdot f(x, \tau) = \varepsilon \cdot \left\{ \cos\left(\frac{\omega\tau}{\Omega}\right) \cdot \left(\begin{array}{l} \left(\frac{\mu a \sin \Theta}{2} - \frac{\nu a^2 \cos 2\Theta}{4} + \frac{a^2 \nu}{2} \right) \\ + \left(\frac{\nu 3a^2 \sin \Theta}{4} + \Delta \sin \Theta + \alpha \right) \end{array} \right) + \right. \\ \left. + \sin\left(\frac{\omega\tau}{\Omega}\right) \cdot \left(\frac{\mu a \cos \Theta}{2} + \frac{\nu a^2 \sin 2\Theta}{4} + \frac{\nu 3a^2 \cos \Theta}{4} \right) \right\}. \quad (12)$$

Левая часть (8) приобретает такой вид:

$$\frac{d^2x}{d\tau^2} + x \cdot \left(\frac{\omega}{\Omega}\right)^2 = \varepsilon \cdot \begin{bmatrix} \left(2A \cdot \frac{\omega \cos \Theta}{\Omega} - 2Ba \cdot \frac{\omega \sin \Theta}{\Omega}\right) \cdot \cos\left(\frac{\omega \tau}{\Omega}\right) - \\ - \left(2A \cdot \frac{\omega \sin \Theta}{\Omega} + 2B \cdot \frac{\omega \cos \Theta}{\Omega}\right) \cdot \sin\left(\frac{\omega \tau}{\Omega}\right) \end{bmatrix}. \quad (13)$$

Приравнивая в (12) и (13) синусные и косинусные составляющие получим:

$$\begin{aligned} \varepsilon Am \cos \Theta - \varepsilon Bm_0 \sin \Theta + 0,5h \cos 2\Theta - k \sin \Theta - \vartheta &= 0 \\ - \varepsilon Am \sin \Theta - \varepsilon Bm_0 \cos \Theta - 0,5h \sin 2\Theta - k \cos \Theta &= 0 \end{aligned} \quad . \quad (14)$$

В уравнении (14) приняты такие обозначения:

$$m = \frac{2\omega}{\Omega}, \quad m_0 = m \cdot a, \quad \vartheta = \alpha + h, \quad k = n + q + h_0, \quad n = 0,5\mu a, \quad h = 0,5a^2\nu, \quad q = 0,75a^3\nu,$$

$$\Delta \cdot a = h_0.$$

Решая систему (14) относительно $\varepsilon \cdot A$ и $\varepsilon \cdot B$ находим:

$$\begin{aligned} \varepsilon \cdot A &= \frac{1,5k \sin \Theta + (0,5\vartheta - 0,25h) \cos 2\Theta + 0,5\vartheta - 0,25h}{m \cdot \cos \Theta} \\ \varepsilon \cdot B &= \frac{k + k \cos 2\Theta - (0,5h + \vartheta) \sin \Theta}{m_0} \end{aligned} \quad . \quad (15)$$

В стационарном режиме $\frac{da}{d\tau} = \frac{d\Theta}{d\tau} = 0$ и решение системы (15) даёт результат $\sin \Theta = -\frac{\xi + \cos 2\Theta}{1,5k}$; $\cos 2\Theta = -1$. Искомая амплитуда колебаний имеет вид:

$$a^2 - 0,666 \cdot a + 1,33 \cdot \frac{\mu + \Delta}{\nu} = 0. \quad (16)$$

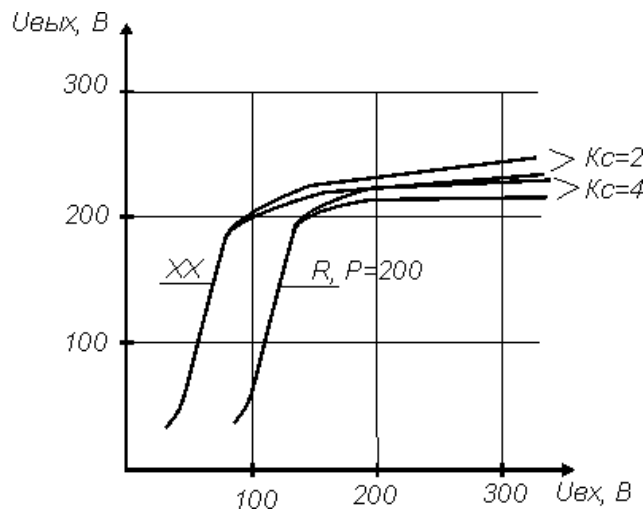


Рисунок 2 - Пороговая характеристика стабилизатора ФС - РЦ

Оказалось, что фаза выходных колебаний -90^0 и определяется условиями для 2Θ . Прибавка к $2\Theta + 2\pi$ не влияет на тригонометрические функции, что значит возможность колебаний с противоположным знаком $+90^0$. Этот результат хорошо подтверждается экспериментальными исследованиями макетного образца стабилизатора.

По уравнению (16) построена пороговая характеристика устройства – зависимость выходного напряжения от входного (рисунок 2). Практический интерес представляет анализ (16) при изменении коэффициента несимметрии K_c . Зависимости $U_{вых}(U_{вх})$ для двух значений K_c показывают, что с ростом K_c стабильность выходного напряжения существенно повышается. Коэффициент стабилизации при этом может достигать 80.

Нагрузочный режим работы стабилизатора. Уравнение (10) решено упомянутым выше методом с использованием аналогичного алгоритма при подключении нагрузки к обмотке W_3 (см. рисунок 1). В результате получено уравнение третьего порядка, устанавливающее связь амплитуды выходных колебаний от параметров устройства.

$$a^3 + r_0 \cdot a^2 - r1 \cdot a + r2 = 0, \quad (17)$$

где $r_0 = \nu m \left(1,875 - 0,437 \cdot \frac{\omega}{\Omega} + 1,75\Pi \cdot \frac{\omega}{\Omega} \right)$,

$$r1 = \alpha\mu \cdot \frac{\omega}{\Omega};$$

$$r2 = \mu \cdot \left(1,75 + 1,25m + 0,5\Pi \cdot \frac{\omega}{\Omega} \right).$$

Уравнение (17), как оказалось, имеет один действительный и два мнимых корня. Подстановка в уравнение параметров макетного стабилизатора:

$$W1 = 190, Wk = 500, W3 = 80, V = 0,001 \text{ м}^3, C = 50 \text{ мкФ}, k1 = 3,346 \cdot 10^6,$$

$$k3 = 160 \cdot 10^{12} \cdot \frac{A}{B^3 C^3}, W2 = 360, l = 0,36 \text{ м}, S = 1,36 \cdot 10^3 \text{ м}^2, \Phi_m = 2,17 \cdot 10^{-3} \cdot BC,$$

позволила построить пороговую характеристику стабилизатора при нагрузке 200 Вт (см. рисунок 2). Выходная мощность образца рассчитывалась по формуле: $P = \frac{VBH}{1,15 \cdot T} = 210$ Вт, где $T = 0,02$ с – период 50 Гц. Величины напряжённости поля $H = 3000$ А/м и индукции $B = 1,3$ Тл выбраны опытным путём. Приведение данных расчёта к действительному напряжению выполнено по известному соотношению $U_{\text{вых}} = 4,44aBmSWk$, где Bm принято 1,8 Тл. Из кривой $Kc = 2 \div 4$ видно, что при нагрузке 200 Вт выходное напряжение отличается высокой стабильностью в широком диапазоне изменения питающего напряжения. При подключении нагрузки кривые $U_{\text{вых}}(U_{\text{вх}})$ смещаются вправо. Изменением параметров, в частности, коэффициента Kc , ёмкости контура и др., можно установить требуемую рабочую зону устройства.

Выводы. Внешняя характеристика стабилизатора (рисунок 3) достаточно жёсткая: при нагрузке до 200 Вт и в номинальном напряжении сети 230 В снижение выходного напряжения не превышает 2 – 3 %, коэффициент стабилизации 40, к. п. д. достигает 0,6 – 0,65, $\cos\varphi = 0,6$. Расчёты показывают, что при питании ТРЦ от стабилизатора коэффициент надёжного возврата приёмника может быть увеличен на 20 – 30 %.

Нагрузочная характеристика $I_{\text{вх}}(I_{\text{н}})$ при нагрузке до 200 Вт носит практически линейный характер при входном токе от 0,6 до 3 А, что свидетельствует о высокой стабильности выходного напряжения и малом внутреннем сопротивлении стабилизатора. Качество выходного напряжения вполне удовлетворительное, с ростом нагрузки форма напряжения ещё в большей степени приближается к синусоидальной.

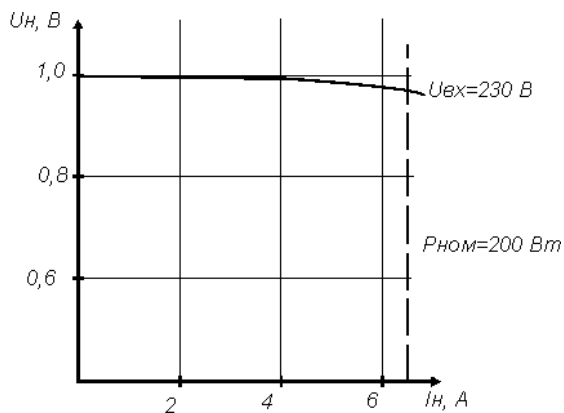


Рисунок 3 - Внешняя характеристика стабилизатора ФС – РЦ

Анализ спектра выходного напряжения стабилизатора потери ξ_0 при наихудших сочетаниях напряжения питания (min) и нагрузки (max) коэффициент нелинейных искажений не превышает 0,01, а наибольшая третья гармоника – 9 %.

Список литературы

1. Рельсовые цепи магистральных железных дорог. Транспорт. – М. – 1992. – 384 с. (Справочник).
2. Талыков А. А., Разгонов А. И. Фазочувствительные рельсовые цепи. Транспорт. – М. – 1972. – 150 с.
3. М. М. Добролюбов, Ю. А. Митропольский. Асимметрические методы в теории нелинейных колебаний. М.: ГНТТЛ. – 1958. – 480 с.